

10; 12

**АНАЛИЗ ПЕРЕХОДНЫХ ПРОЦЕССОВ
И СПЕКТРАЛЬНЫХ ХАРАКТЕРИСТИК
ЭЛЕКТРОННЫХ ПУЧКОВ
В НАНОСЕКУНДНЫХ СИЛЬНОТОЧНЫХ ЭЛЕКТРОННЫХ
УСКОРИТЕЛЯХ НА ФОРМИРУЮЩИХ ЛИНИЯХ**

Г. А. Месяц, Б. З. Мовшевич

Теоретически исследуется влияние коммутационных и взрывоэмиссионных процессов, а также паразитных реактивностей разрядного контура высоковольтного генератора импульсов на параметры формируемых импульсов и спектральные характеристики релятивистских электронных пучков в сильноточных ускорителях прямого действия на формирующих линиях.

В настоящее время наиболее распространеными источниками сильноточных релятивистских электронных пучков (РЭП) являются ускорители прямого действия с вакуумными диодами [1-3], в которых используются катоды с взрывной эмиссией электронов [4, 5]. При создании сильноточных электронных ускорителей (СЭУ) одна из основных задач состоит в формировании высоковольтных импульсов ускоряющего напряжения с заданными параметрами, подача которых на диод ускорителя должна обеспечивать получение РЭП с требуемыми характеристиками.¹

Для генерации высоковольтных импульсов длительностью 10^{-10} - 10^{-7} с в сильноточных ускорителях в качестве формирующих элементов широко применяются распределенные линии передачи (формирующие линии) [1-3, 6, 7]. При их использовании достигается высокая равномерность вершины и крутизна фронтов генерируемых импульсов, а также полная передача энергии, запасаемой в линии, в согласованную нагрузку. Формирующие линии (ФЛ) обладают сравнительно большой удельной энергоемкостью, простотой и надежностью конструкции.

Получение прямоугольных наносекундных импульсов ускоряющего напряжения в ФЛ обеспечивает моноэнергетичность электронного пучка ускорителя, а отклонение их формы от прямоугольной за счет воздействия различных факторов приводит к расширению энергетического спектра РЭП.

Искажения импульсов, вносимые самой ФЛ, достаточно подробно исследованы в ряде работ (см., например, [6, 8, 9]). Однако на процессы в формирователе СЭУ влияет и ряд других факторов, существующих в реальных конструкциях сильноточных ускорителей. Параметры импульсов ускоряющего напряжения и энергетический разброс электронов в пучках, формируемых в СЭУ, в значительной степени определяются временем коммутации высоковольтного разрядника, пелинейностью и временем зависимостью вольт-амперной характеристики (ВАХ) взрывоэмиссионного диода, являющегося нагрузкой линии, а также собственной емкостью диода и индуктивностью разрядного контура. Учет влияния этих факторов особенно актуален для коротко-

¹ Здесь для простоты полагается, что величина ускоряющего напряжения U_D и энергия частиц пучка W связаны однозначно $W = eU_D$, где e — заряд электрона.

импульсных ускорителей, широко применяемых, например, в релятивистской СВЧ электронике, где наносекундные длительности формируемых импульсов, соизмеримые с временами коммутационных, взрывоэмиссионных и переходных процессов в разрядном контуре ускорителя, сочетаются с жесткими требованиями к форме высоковольтных импульсов и моноэнергетичности электронов в пучке.

Анализ воздействия перечисленных факторов на параметры рентгеновских импульсов, получаемых при разряде емкости на взрывоэмиссионный диод, выполненный посредством моделирования процессов формирования на аналоговой вычислительной машине, рассмотрен в работе [10].

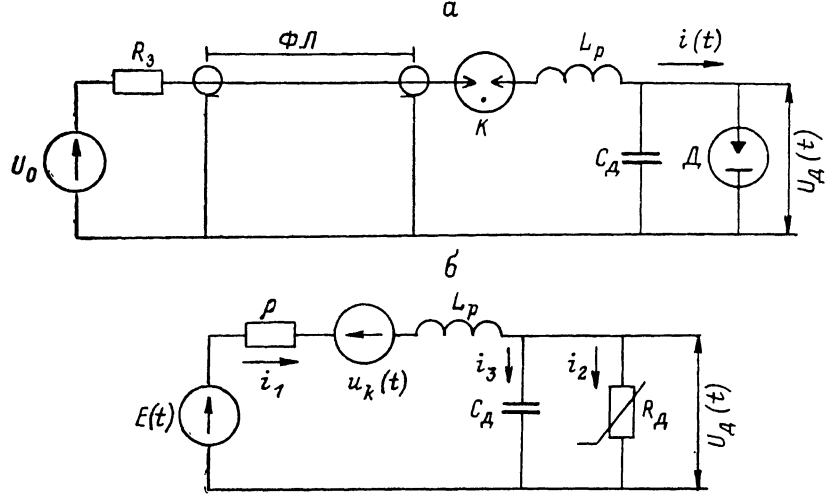


Рис. 1. Генератор импульсов ускоряющего напряжения на формирующей линии. Принципиальная (а) и эквивалентная (б) схемы.

Исследуем влияние этих же факторов на процессы формирования высоковольтных импульсов ускоряющего напряжения в наносекундных СЭУ на формирующих линиях и спектральные характеристики их электронных пучков.

Схема генератора на ФЛ с взрывоэмиссионным диодом приведена на рис. 1, а. Она включает формирующую линию ФЛ с волновым сопротивлением ρ , сильноточный коммутатор К, диод Д, его емкость C_D , индуктивность разрядного контура L_p и зарядное сопротивление R_s .

При расчете переходных процессов в формирователе учитывается, что переключение коммутатора из непроводящего состояния в проводящее происходит за конечное время. Изменение напряжения на коммутаторе в процессе переключения аппроксимируется функцией

$$u_{\kappa}(t) = U_0 e^{-t/\tau_{\kappa}} \quad (1)$$

($\tau_{\kappa} = t_{\kappa}/2.2$, t_{κ} — время коммутации, в течение которого напряжение на разряднике спадает от 0.9 до 0.1 U_0), дающей не только качественное, но и хорошее количественное совпадение с экспериментом [6, 10, 11].

Известно, что ВАХ взрывоэмиссионного диода описывается законом «степени 3/2» [5]

$$i(t) = P(t) u_D^{3/2}(t). \quad (2)$$

Для большинства приложений наносекундных СЭУ, в частности в релятивистской высокочастотной электронике, основным требованием, предъявляемым к РЭП, является минимальный энергетический разброс электронов. Поэтому для устранения влияния на режим работы короткоимпульсных ускорителей изменения первоначальной взрывоэмиссионного диода в течение импульса за счет движения в межэлектродном промежутке d плазмы со скоростью v в таких диодах в отличие от рентгеновских [11, 12] обычно выполняется соотношение $\tau_{\kappa} \ll d/v$.

В силу этого изменение первеанса диода $P(t)$ вследствие движения плазмы при анализе переходных процессов в наносекундных ускорителях можно не учитывать.

На начальную стадию формирования импульса существенное влияние оказывает временная зависимость ВАХ диода, определяемая изменением его первеанса во времени в результате запаздывания взрывной эмиссии электронов [5]. Зависимость первеанса диода $P(t)$ от времени, качественно описывающая его нарастание до стационарного значения в процессе развития катодного факела, может быть представлена в виде

$$P(t) = P_0(1 - e^{-t/\tau_s}), \quad (3)$$

где τ_s — параметр, характеризующий время запаздывания взрывной эмиссии.

Предполагается также, что на стационарном участке вершины импульса диод согласован с ФЛ² ($R_d = \rho$; $U_m = U_0/2$, где U_m — амплитуда импульса, U_0 — зарядное напряжение линии). При этом, как следует из (2), первеанс диода равен

$$P_0 = \frac{1}{\rho} \sqrt{\frac{2}{U_0}}. \quad (4)$$

Влияние нелинейности нагрузки определяется путем сравнения процессов в формирователе, нагруженном на диод, ВАХ которого описывается выражением (2), с процессами, протекающими при работе на диод с линейной характеристикой,

$$R_d = u_d(t)/i(t) = \rho. \quad (5)$$

При исследовании процессов формирования высоковольтных импульсов в качестве их основных характеристик использовались длительность фронта τ_{ϕ} и среза τ_{cp} (по уровням 0.1—0.9 амплитудного значения импульса U_m) и нормированная величина выброса на вершине импульса $\delta = \Delta U/U_m$.

Важнейшей характеристикой электронных пучков является их энергетический спектр. Полагаем, что энергия электронов в пучке определяется напряжением, приложенным к диоду, и мгновенный энергетический разброс частиц равен нулю. При этом функцию распределения электронов пучка по энергиям можно записать следующим образом [11]:

$$\frac{dn}{dW} = \frac{i(t)}{e} \frac{dt}{dW}, \quad (6)$$

где dn — число электронов, энергия которых лежит в интервале $[W, W + \Delta W]$; $W = eu_d(t)$; $u_d(t)$ — напряжение, прикладываемое к диоду в фиксированный момент времени t ; e — заряд электрона; $i(t)$ — ток электронов в диоде.

Следовательно, зная ток и напряжение диода, можно рассчитать энергетический спектр электронов пучка, поступающего на анод диода ускорителя. Как правило, зависимость $u_d(t)$ имеет один или несколько экстремумов, в которых функции dt/dW и соответственно dn/dW имеют разрывы, в результате чего непосредственное сравнение характеристик dn/dW друг с другом затруднительно. Так как в большинстве физических приложений, в частности в СВЧ электронике и физике плазмы, в эффективное взаимодействие вступают лишь частицы с энергией, лежащей в сравнительно узкой полосе ΔW вблизи определенного значения W_0 , то практический интерес представляет спектральная характеристика пучка, определяющая долю электронов Δn , обладающих энергией в интервале ΔW

$$s(W) = \frac{\Delta n(W)}{n_0} = \frac{\sum_{i=1}^m \int_{t_i(W-\Delta W)}^{t_i(W)} i(t) dt}{\int_0^{\tau_R} i(t) dt}, \quad (7)$$

² Влияние рассогласования накопительной линии с диодом на энергетический спектр электронов рассмотрено в работе [11].

где n_0 — число электронов, переносимое пучком за время импульса; m — количество временных интервалов $\Delta t_i = t_i - (W - \Delta W)$, в течение которых энергия частиц лежит в диапазоне $[W - \Delta W, W]$ (рис. 2).

При расчете переходных процессов в импульсном генераторе с ФЛ на интервале времени $[0, 2\tau_u]$ ($\tau_u = 2l/v_\phi$, где l — длина ФЛ, v_ϕ — фазовая скорость волны в линии) использовался метод эквивалентных схем замещения (см., например, [6]). Эквивалентная схема генератора для данного временного интервала приведена на рис. 1, б. В этой схеме формирующая линия заменена генератором напряжения с ЭДС $E(t)$ и внутренним сопротивлением ρ . Процессы в схеме

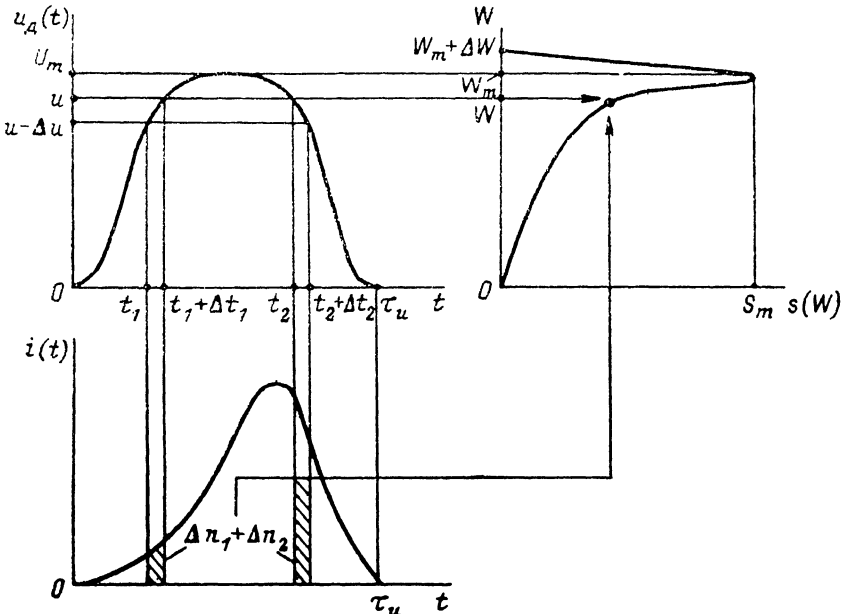


Рис. 2. Алгоритм построения спектральной характеристики электронного пучка.

описываются системой нелинейных дифференциальных уравнений, полученной на основании законов Кирхгофа,

$$q_1'' + \frac{\rho}{L_p} q_1' + \frac{U_0}{L_p} e^{-t/\tau_u} + \frac{1}{L_p C_D} (q_1 - q_2) = \frac{E(t)}{L_p},$$

$$q_2' = P(t) \left[\frac{1}{C_D} (q_1 - q_2) \right]^{1/2}. \quad (8)$$

Величина ЭДС на интервале времени $t \in [0, \tau_u]$, определяемом двойным пробегом волны вдоль линии, равна $E(t) = U_0$, а на интервале $t \in [\tau_u, 2\tau_u]$ с учетом волны, отраженной от разомкнутого конца линии, $E(t)$ описывается выражением

$$E(t) = U_0 - 2\rho i_1(t - \tau_u), \quad (9)$$

где $i(t)$ — волна тока, распространяющаяся по линии при замыкании ключа K ; $i_1 = dq_1/dt$; $i_2 = dq_2/dt$.

Начальные условия для интервала времени $[0, \tau_u]$

$$q_1|_{t=0} = 0; \quad q_2|_{t=0} = 0; \quad q_1'|_{t=0} = 0,$$

а для интервала времени $[\tau_u, 2\tau_u]$

$$\bar{q}_1|_{t=\tau_u} = q_1(\tau_u), \quad \bar{q}_2|_{t=\tau_u} = q_2(\tau_u), \quad \bar{q}_1'|_{t=\tau_u} = q_1'(\tau_u),$$

где значения $q_1(\tau_u)$, $q_2(\tau_u)$, $q_1'(\tau_u)$ определяются из решения системы уравнений (8) на интервале времени $[0, \tau_u]$.

Вводя безразмерное время $x = t/\tau_u$, функции $y(x) = q(x)/q_0$ ($q_0 = C_x U_0$ — заряд, накопленный в линии; $C_x = \tau_u/2\rho$ — емкость ФЛ) и $e(x) = E(x)/U_0$, коэффициенты $\bar{\tau}_c = \tau_c/\tau_u$, $\bar{\tau}_s = \tau_s/\tau_u$, $\bar{\tau}_L = \tau_L/\tau_u$, $\bar{\tau}_k = \tau_k/\tau_u$ ($\tau_e = \rho C_d$, $\tau_L = L_p/\rho$), а также учитывая равенство (4), преобразуем систему уравнений (8) к виду, удобному для проведения расчетов на ЭВМ,

$$\begin{aligned} y'_1 &= y_3, \quad y'_2 = (1 - e^{-x/\bar{\tau}_s}) (y_1 - y_2)^{3/2}/\bar{\tau}_c^{3/2}, \\ y'_3 &= \{2 [e(x) - e^{-x/\bar{\tau}_k}] - (y_1 - y_2)/\bar{\tau}_c - y_3\}/\bar{\tau}_L, \end{aligned} \quad (10)$$

где

$$e(x) = \begin{cases} 1, & x \in [0, 1], \\ 1 - y_3(x-1), & x \in [1, 2], \end{cases}$$

$$i_1 = U_0 y'_1(x)/2\rho, \quad i_2 = U_0 y'_2(x)/2\rho.$$

Начальные условия уравнений (10)

$$\begin{aligned} y_1|_{x=0} &= y_2|_{x=0} = y_3|_{x=0} = 0, \quad x \in [0, 1], \\ y_1|_{x=1} &= y_1(1), \quad y_2|_{x=1} = y_2(1), \quad y_3|_{x=1} = y_3(1), \quad x \in [1, 2]. \end{aligned}$$

Решения системы уравнений (10) и расчеты спектра электронов с использованием выражения (7), выполненные на ЭВМ, позволили проанализировать

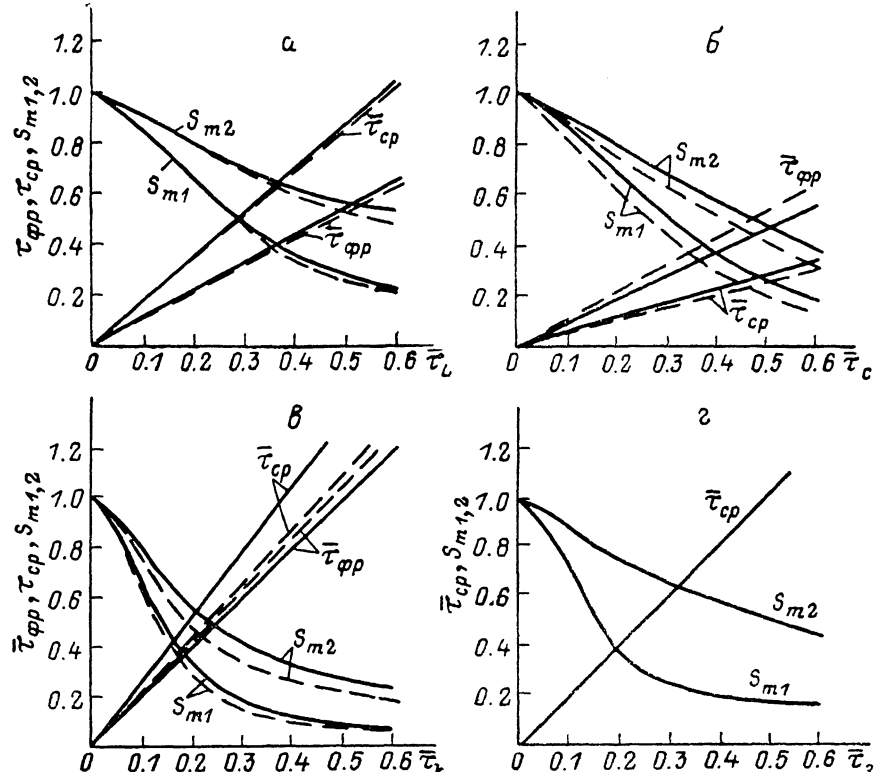


Рис. 3. Зависимости нормированных длительностей фронта $\bar{\tau}_{\phi p} = \tau_{\phi p}/\tau_u$ и среза $\bar{\tau}_{cp} = \tau_{cp}/\tau_u$ импульса напряжения на диоде, а также амплитуд спектральных характеристик пучка S_{m1} , S_{m2} от параметров $\bar{\tau}_L$ (a), $\bar{\tau}_c$ (б), $\bar{\tau}_k$ (в), $\bar{\tau}_s$ (г).

влияние параметров разрядного контура высоковольтного генератора импульсов с ФЛ и его основных элементов на процессы формирования импульсов ускоряющего напряжения и спектральные характеристики электронных пучков, получаемых в вакуумных диодах с взрывной эмиссией электронов.

1. Степень влияния каждого из перечисленных факторов на основные параметры формируемых импульсов и спектральные характеристики РЭП может быть оценена на основании графиков импульсов напряжения на диоде (и=

$= u_d/V_0$) и соответствующих спектральных характеристик (рис. 3, 4). При исследовании влияния каждого отдельного фактора действие всех остальных не учитывается. На рис. 3 приведены зависимости максимальных значений элек-

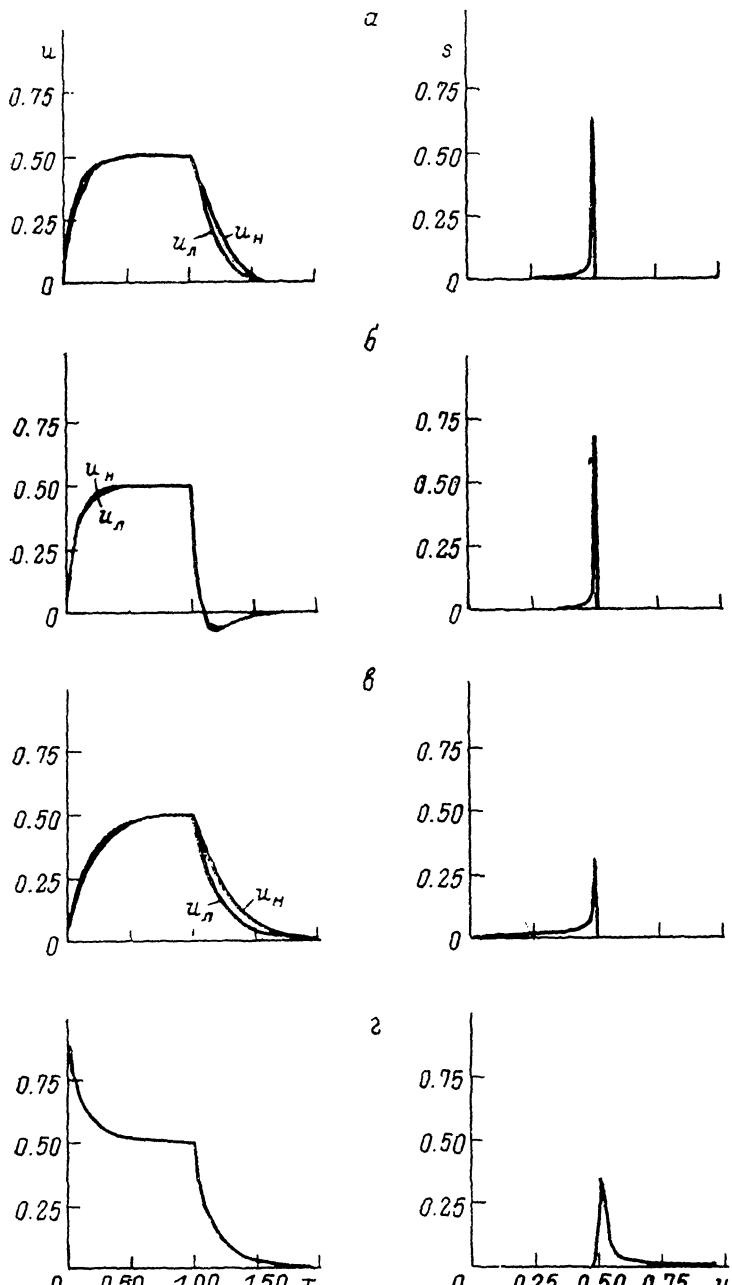


Рис. 4. Импульсы напряжения на диоде и спектральные характеристики пучка при различных параметрах элементов генератора.

α — $t_L = 0.2$, $S_{m1} \approx S_{m2} = 0.62$; β — $t_c = 0.2$, $S_{m1} = 0.61$, $S_{m2} = 0.67$; γ — $t_k = 0.2$, $S_{m1} = 0.27$, $S_{m2} = 0.31$; δ — $t_s = 0.2$, $S_{m1} = 0.34$.

тронных спектров, определяющих долю частиц с энергией, лежащей в интервале $2 \cdot 10^{-2} W_m (S_{m1})$ и $10^{-1} W_m (S_{m2})$, в общем количестве частиц, перенесенных пучком в течение импульса, а на рис. 4—8 — спектральные характеристики для $\Delta W = 2 \cdot 10^{-2} W_m$.

Из рис. 3, а, в и 4, а, в следует, что общий характер воздействия паразитной индуктивности L_p и времени коммутации разрядника К на процессы в генераторе одинаков. Возрастание τ_L и τ_k приводят к увеличению длительности фронта и среза импульса напряжения на диоде, а следовательно, к уменьшению скорости нарастания напряжения на нагрузке и снижению амплитуды спектральной характеристики. Влияние параметра τ_k более ощутимо, чем параметра τ_L . Это объясняется тем, что последовательно с индуктивностью L_p включены два сопротивления ρ и R_D , в результате чего ее воздействие на формируемый импульс снижается, в то время как величина τ_k непосредственно определяет время переходных процессов. Вследствие того, что волна, формирующая срез импульса,

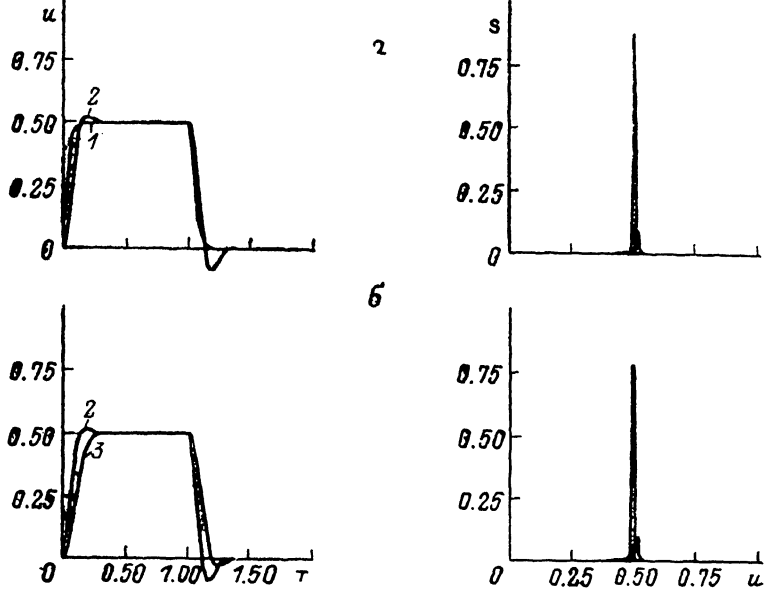


Рис. 5. Зависимости $u(x)$ и $s(u)$ с учетом индуктивности разрядного контура и емкости диода.
а — $\tau_L = 0.06$, $\tau_c = 2 \cdot 10^{-3}$, $\tau_k = \tau = 0$ (1); $\tau_L = \tau_c = 0.06$, $\tau_k = \tau_s = 0$ (2); $S_{m1} = 0.9$, $S_{m2} = 0.71$; б — $\tau_L = \tau_c = 0.06$, $\tau_k = \tau_s = 0$ (2); $\tau_L = \tau_c = \tau_k = 0.06$, $\tau_s = 0$ (3), $S_{m2} = 0.71$, $S_{m3} = 0.78$.

дважды интегрируется цепочкой L_p , $\rho + R_D$, длительность среза импульса τ_{op} возрастает примерно в 1.5 раза больше, чем $\tau_{\phi p}$. Увеличение длительности фронта и среза за счет конечного времени коммутации разрядника практически одинаково, так как коммутационные процессы к концу импульса уже завершаются, лишь при $\tau_k \geq 0.5$ величина τ_{op} начинает превышать $\tau_{\phi p}$ (для нелинейной нагрузки это различие более ощутимо, чем для линейной). Видно, что увеличение τ_L и τ_k (особенно τ_k) приводит к существенному уменьшению S_m . Причем при значениях τ_k и τ_L , соизмеримых с τ_s , напряжение на диоде может даже не достигать стационарного значения, равного $U_0/2$.

Влияние емкости диода C_d на процессы в схеме генератора с ФЛ аналогично действию индуктивности разрядного контура с тем отличием, что срез формируемого импульса примерно в 2 раза короче фронта (рис. 3, б, 4, б). Это обусловлено тем, что волна тока, приходящая в нагрузку в момент времени $t = \tau_s$, имеет отрицательный выброс, который ускоряет процесс разряда емкости C_d .

Запаздывание взрывной эмиссии электронов, характеризуемое параметром τ_s , приводит к возникновению в начале импульса выброса амплитудой $\delta \approx U_0/2$ и соответственно к появлению в электронном спектре составляющих с энергией, превышающей значение $eU_0/2$ (рис. 3, г, 4, г), а также к существенным искажениям вершины импульса и связанных с ними значительным расширением спектра и снижением его амплитуды. Эти явления вызваны тем, что в течение времени $\tau < \tau_s$ сопротивление диода $R_D \gg \rho$ и линия работает в существенно рассогласованном режиме. Появление выброса на фронте импульса и высококо-

энергетических электронов в пучке весьма нежелательно, так как это может привести к пробоям изолятора диода ускорителя и существенным изменениям режима его работы. О возможности устранения выброса будет сказано несколько ниже.

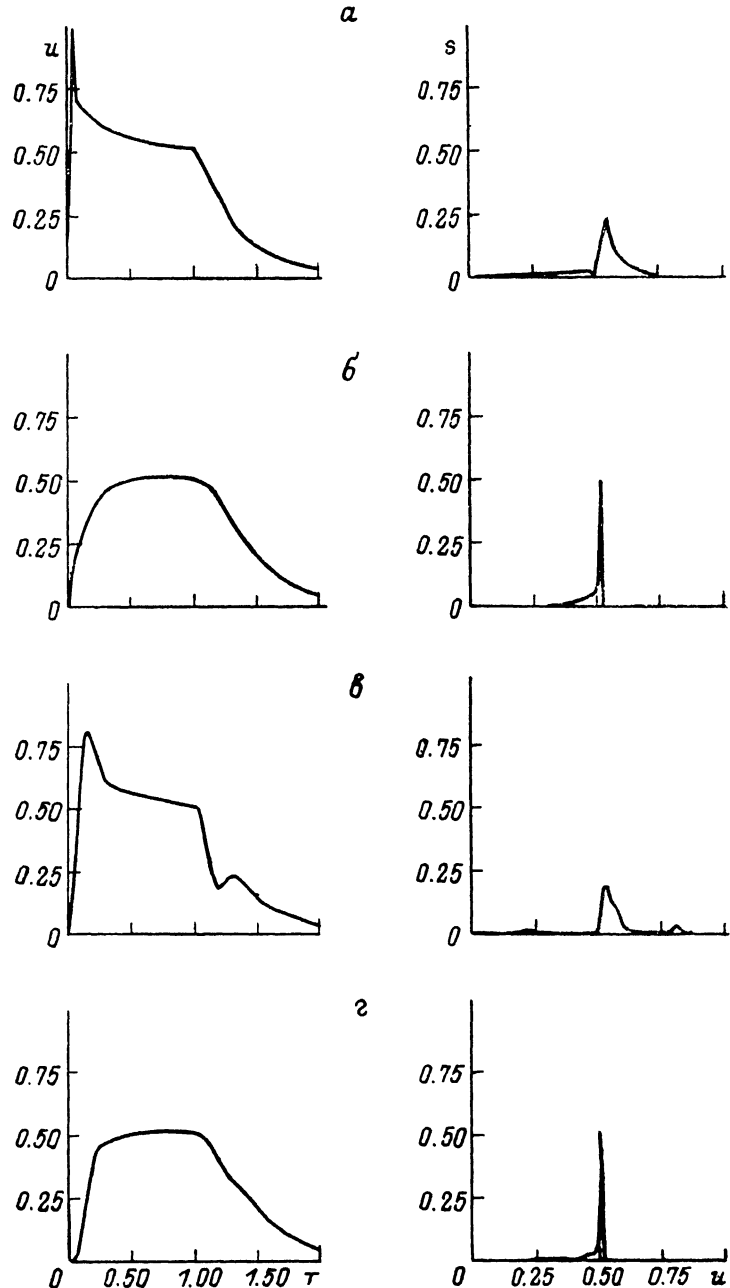


Рис. 6. Зависимости $u(x)$ и $s(u)$ при различных величинах времени коммутации фазрядника, емкости диода и фиксированных значениях $\tau_s = 0.4$, $\tau_L = 0.1$.

$$a - \tau_k = \tau_c = 2 \cdot 10^{-3}, S_m = 0.22; b - \tau_k = 0.2, \tau_c = 2 \cdot 10^{-3}, S_m = 0.5; c - \tau_k = 2 \cdot 10^{-3}, \tau_c = 0.04, S_m = 0.18; d - \tau_k = 0.2, \tau_c = 0.04, S_m = 0.49.$$

Влияние нелинейности ВАХ взрывоэмиссионного диода на процессы формирования импульсов и их основные параметры подтверждается сравнением с параметрами импульсов, формируемыми в генераторе с линейной нагрузкой (на рис. 3 зависимости, полученные в схеме с линейной нагрузкой, показаны

штриховыми линиями). Нелинейность ВАХ приводит к укорочению фронта импульса и некоторому увеличению длительности его среза, а также к незначительному возрастанию амплитуды спектральной характеристики (в среднем на 5–10 %).

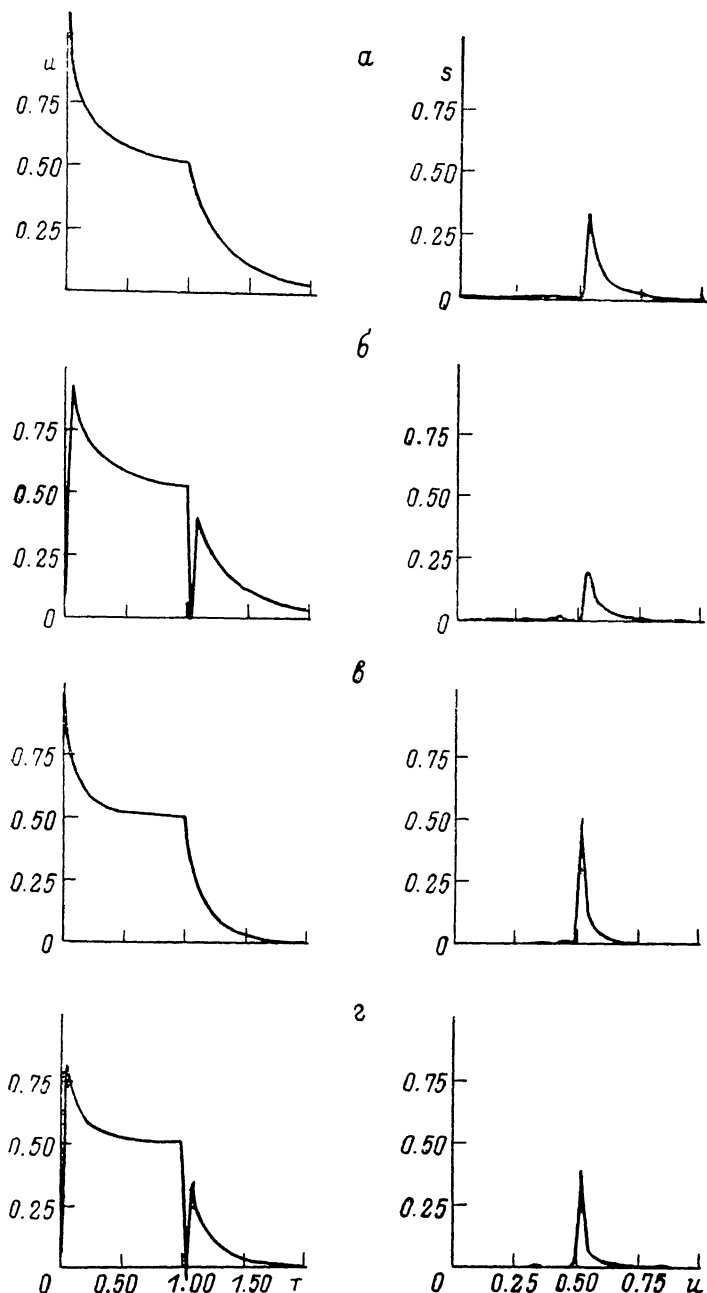


Рис. 7. Зависимости $u(x)$ и $s(u)$ при различных величинах времени задержки взрывной эмиссии, емкости диода и фиксированных значениях $\tau_s = 2 \cdot 10^{-3}$, $\tau_L = 10^{-2}$.

τ_s : а, б — 0.4; в, г — 0.2; τ_e : а, в — $2 \cdot 10^{-4}$; б, г — 0.02; S_m : а — 0.31, б — 0.19, в — 0.5, г — 0.39.

2. В реальных конструкциях СЭУ присутствуют и индуктивность разрядного контура, и емкость диода. Их величины, как правило, составляют $L_p = 50-100$ нГн, $C_D = 5-20$ пФ. При сопротивлении ФЛ и диода 50–100 Ом соответствующие постоянные времени равны $\tau_L = 0.5-2$ нс, $\tau_e = 0.25-2$ нс,

т. е. соизмеримы между собой, а в наносекундных ускорителях — и с длительностью формируемых импульсов.

Как показывает анализ эквивалентной схемы генератора с учетом L_p и C_D , в зависимости от соотношения τ_L и τ_c ($\tau_s, \tau_e \ll \tau_L, \tau_c$) процесс установления напряжения на диоде может иметь либо апериодический, либо колебательный

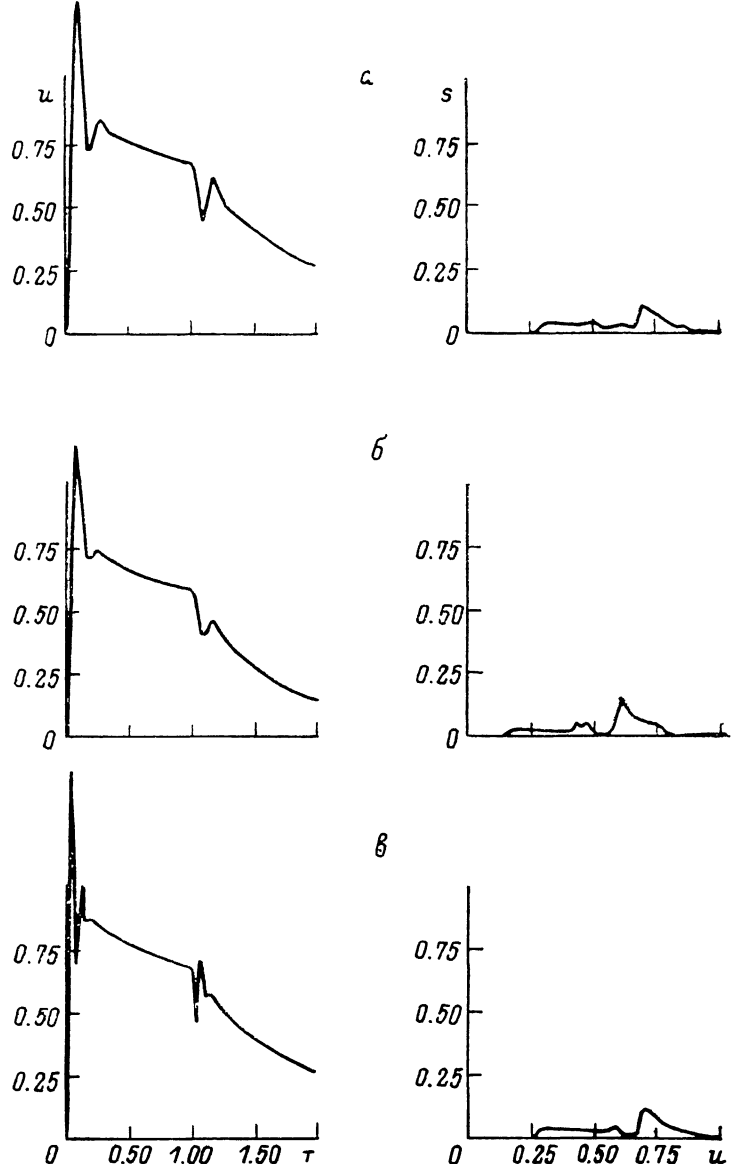


Рис. 8. Зависимости u (x) и s (u) при различных величинах индуктивности разрядного контура, емкости диода, времени задержки взрывной эмиссии электронов и $\tau_e = 2 \cdot 10^{-8}$.

τ_L : a, б — 0.1; в — 0.04; τ_c : a, б — 0.01; в — $4 \cdot 10^{-8}$; τ_s : a, в — 2, б — 1.

характер. В режиме согласования линии с нагрузкой ($\rho = R_D$) на интервале $0.17 \leq \tau_L/\tau_c \leq 5.83$ процесс установления является колебательным, а вне этого интервала — апериодическим. Переход от колебательного режима к апериодическому вызван либо демпфирующим действием волнового сопротивления линии ρ (при $\tau_L/\tau_c < 0.17$), либо шунтированием емкости C_D сопротивлением диода R_D (при $\tau_L/\tau_c > 5.83$). Если ФЛ рассогласована с нагрузкой ($\rho \neq R_D$), то область колебательного режима определяется следующим образом:

$$\frac{R_D}{\rho} (\sqrt{1 + \rho/R_D} - 1) \leq \sqrt{\frac{\tau_L}{\tau_c}} \leq \frac{R_D}{\rho} (\sqrt{1 + \rho/R_D} + 1). \quad (11)$$

На рис. 5, а приведены импульс напряжения на линейной нагрузке (кривая 2) и спектральная характеристика для $\bar{\tau}_L = \bar{\tau}_c = 0.06$. При этом соотношении параметров на вершине импульса появляется выброс величиной $\delta \approx 4.3\%$, а электронный спектр расширяется в сторону больших энергий и его амплитуда вследствие сокращения равномерного участка вершины импульса существенно снижается (~на 20%). Выброс на вершине импульса напряжения может быть легко устранен путем незначительного увеличения времени коммутации разрядника. На рис. 5, б представлены соответствующие графики для $\bar{\tau}_L = \bar{\tau}_c = 0.06$. При этом выброс на фронте импульса полностью исчезает (кривая 3), а амплитуда спектра $s(u)$ возрастает на 10 %. Следует, однако, учитывать, что увеличение τ_c приводит к возрастанию τ_{fp} и уменьшению скорости нарастания напряжения на нагрузке.

3. Рассмотрим характер переходных процессов, когда в формирователе импульсов присутствуют все перечисленные выше факторы.

Зависимости $u(x)$ и $s(u)$ (рис. 6) показывают влияние времени коммутации разрядника на процессы в формирователе при различных значениях $\bar{\tau}_c$ и фиксированных величинах $\bar{\tau}_s$ и $\bar{\tau}_L$ ($\bar{\tau}_s = 0.4$, $\bar{\tau}_L = 0.1$). Отсюда следует, что увеличение времени коммутации до определенного оптимального значения позволяет устраниć выброс на фронте импульса ускоряющего напряжения и уменьшить искажения его вершины, обусловленные задержкой взрывной эмиссии электронов. В результате этого существенно улучшается форма импульсов (рис. 6, б, г), сужается электронный спектр и его амплитудное значение возрастает примерно в 2.5 раза.

На рис. 7 показаны изменения $u(x)$ и $s(u)$ при различных $\bar{\tau}_s$ и $\bar{\tau}_c$ и малых значениях $\bar{\tau}_L$ и $\bar{\tau}_k$ ($\bar{\tau}_k = 2 \cdot 10^{-3}$, $\bar{\tau}_L = 10^{-2}$). Увеличение емкости C_D приводит к отделению «хвоста» импульса (рис. 7, б, г), вызванного рассогласованием линии с диодом на интервале времени $\tau < \tau_s$, и усиливает неравномерность вершины, в результате чего расширяется энергетический спектр электронов и снижается его амплитуда.

При больших значениях параметра τ_s , небольшой величине емкости диода C_D и малом времени коммутации разрядника амплитуда выброса на фронте импульса может значительно превышать величину зарядного напряжения ФЛ U_0 (рис. 7, а, 8). Это объясняется тем, что при больших временах задержки взрывной эмиссии на катоде диода в начале импульса происходит резонансный заряд емкости от источника напряжения U_0 , причем с увеличением отношения $\sqrt{L_p/C_D}/\rho$ и параметра τ_s величина напряжения на C_D возрастает и стремится к $2U_0$. Вследствие этого незначительная часть электронов в пучке (так как ток в диоде в это время мал), формируемом во взрывоэмиссионном диоде ускорителя на ФЛ, может иметь энергию, в 4 раза превышающую расчетное значение $eU_0/2$.

Таким образом, проведенные исследования показали, что наличие паразитных элементов в разрядном контуре генератора импульсов, конечное время коммутации высоковольтного разрядника и задержка взрывной эмиссии электронов в вакуумном диоде сильноточного ускорителя на ФЛ оказывают значительное влияние на основные характеристики как самих высоковольтных импульсов, так и формируемых с их помощью РЭП, которое необходимо учитывать при разработке наносекундных СЭУ.

Анализ переходных процессов, выполненный на модели разрядного контура ускорителя, позволил установить влияние перечисленных факторов (каждого в отдельности и их основных комбинаций) на характеристики формируемых импульсов и электронных пучков. Это дает возможность на основе полученных результатов выработать для каждой реальной конструкции ускорителя конкретные рекомендации по устранению влияния того или иного фактора.

Литература

- [1] Мощные наносекундные импульсные источники ускоренных электронов / Под ред. Г. А. Месяца. Новосибирск: Наука, 1974. 167 с.
- [2] Смирнов В. П. // ПТЭ. 1977. № 2. С. 7–31.

- [3] Накопление и коммутация энергии больших плотностей / Под ред. Э. И. Асиновского, В. С. Комелькова. М.: Мир, 1979. 474 с.
- [4] Месяц Г. А., Бугаев С. П., Проскуровский Д. И. // УФН. 1971. Т. 104. № 4. С. 673—675.
- [5] Бугаев С. П., Литвинов Е. А., Месяц Г. А., Проскуровский Д. И. // УФН. 1975. Т. 115. № 1. С. 101—120.
- [6] Месяц Г. А. Генерирование мощных наносекундных импульсов. М.: Сов. радио, 1974. 256 с.
- [7] Месяц Г. А., Насибов А. С., Кремнев В. В. Формирование наносекундных импульсов высокого напряжения. М.: Энергия, 1970. 152 с.
- [8] Глебович Г. В., Ковалев И. П. Широкополосные линии передачи импульсных сигналов. М.: Сов. радио, 1973. 224 с.
- [9] Мовшевич Б. З., Сморгонский А. В. // РиЭ. 1984. Т. 29. № 9. С. 1696—1699.
- [10] Морговский Л. Я. Автореф. канд. дис. Томск, 1983. 16 с.
- [11] Кремнев В. В., Месяц Г. А., Резников В. П. // ЖТФ. 1974. Т. 44. Вып. 10. С. 2168—2173.
- [12] Месяц Г. А., Иванов С. А., Комяк Н. И., Пеликс Е. А. Мощные наносекундные импульсы рентгеновского излучения. М.: Энергоатомиздат, 1983. 168 с.

Институт прикладной физики АН СССР
Горький

Поступило в Редакцию
8 февраля 1988 г.
В окончательной редакции
15 ноября 1988 г.
